

Dernière mise à jour des informations: Avril 2025

Configuration du produit: RA13.01

RA13.01: Appareil encastrable rond fixe - LED - WideFlood - 17W 2138.5lm - 4000K - CRI 90 - Blanc

**Référence produit**

RA13.01: Appareil encastrable rond fixe - LED - WideFlood - 17W 2138.5lm - 4000K - CRI 90 - Blanc

Description technique

Appareil encastrable rond avec collerette de butée. Version fixe. Position reculée de la LED pour réduire au minimum l'éblouissement. Le corps principal en aluminium moulé sous pression présente une surface radiante qui garantit une excellente dissipation de la chaleur. Réflecteur à haute définition en matière thermoplastique métallisée - optique WideFlood. Structure à collerette extérieure de butée en aluminium moulé sous pression, finition unique blanche. Anneau intérieur en matière thermoplastique, disponible en différentes finitions, peintes ou métallisées. Verre de protection compris. L'assemblage simple et rapide ne nécessite pas d'outils. LED 4000K à indice de rendu des couleurs élevé. L'unité d'alimentation est disponible sous référence séparée.

Installation

A encastrer sur le faux-plafond à l'aide de ressorts en fil d'acier antichute - épaisseur minimale du faux-plafond 1 mm - perçage de préparation Ø 96 mm.

Coloris

Blanc (01)

Poids (Kg)

0.37

Montage

encastré mural|encastré au plafond

Câblage

Ballasts à courant constant disponibles sous référence séparée : ON-OFF / gradable 1-10V / gradable DALI / gradable à coupure de phase - l'appareil est fourni avec un câble à connecteur rapide à brancher au connecteur fourni sur le ballast.

Remarque

Il existe une gamme étendue d'accessoires décoratifs et de diffuseurs.

Conforme à la norme EN60598-1 et à la réglementation en vigueur (ou à la réglementation relative)



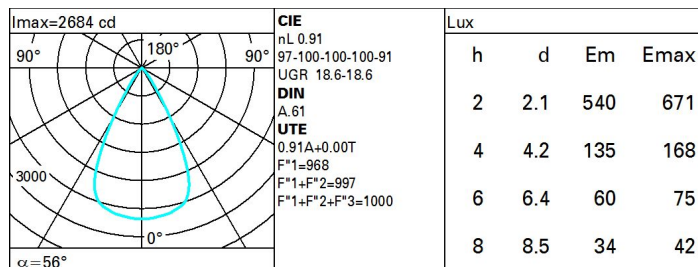
IP20

IP44

Sur la partie visible du produit une fois installé

**Données techniques**

| | | | |
|--|-------|--------------------------------------|---------------------------------|
| lm du système: | 2139 | IRC (minimum): | 90 |
| W du système: | 17 | Température de couleur [K]: | 4000 |
| lm source: | 2350 | MacAdam Step: | 2 |
| W source: | 17 | Durée de vie LED 1: | > 50,000h - L90 - B10 (Ta 25°C) |
| Efficacité lumineuse (lm/W, valeurs du système): | 125.8 | Code Lampe: | LED |
| lm en mode secours: | - | Nombre de lampes par groupe optique: | 1 |
| Flux total émis à un angle de 90° ou plus [Lm]: | 0 | Code ZVEI: | LED |
| Light Output Ratio (L.O.R.) [%]: | 91 | Nombre de groupes optiques: | 1 |
| Angle d'ouverture [°]: | 56° | LED Courant [mA]: | 500 |

Polaire

Coefficients d'utilisation

| R | 77 | 75 | 73 | 71 | 55 | 53 | 33 | 00 | DRR |
|------|----|----|----|----|----|----|----|----|-----|
| K0.8 | 81 | 76 | 73 | 71 | 76 | 73 | 72 | 69 | 76 |
| 1.0 | 85 | 81 | 78 | 76 | 80 | 77 | 77 | 74 | 81 |
| 1.5 | 89 | 86 | 84 | 82 | 85 | 83 | 82 | 79 | 87 |
| 2.0 | 92 | 90 | 88 | 87 | 89 | 87 | 86 | 84 | 92 |
| 2.5 | 94 | 92 | 91 | 90 | 91 | 90 | 89 | 86 | 95 |
| 3.0 | 95 | 94 | 93 | 92 | 93 | 92 | 90 | 88 | 97 |
| 4.0 | 96 | 95 | 95 | 94 | 94 | 93 | 92 | 90 | 99 |
| 5.0 | 97 | 96 | 96 | 95 | 95 | 94 | 93 | 91 | 100 |

Courbe limite de luminance

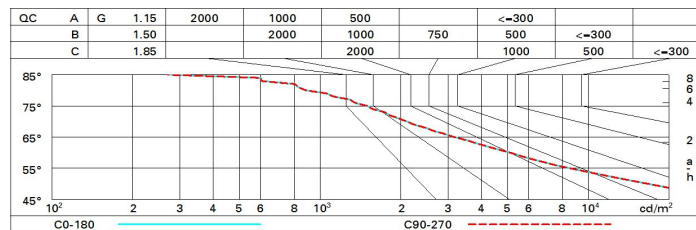


Diagramme UGR

| Corrected UGR values (at 2350 lm bare lamp luminous flux) | | | | | | | | | | |
|---|----|------------------|------|------|------|------|----------------|------|------|------|
| Reflect.: | | viewed crosswise | | | | | viewed endwise | | | |
| ceiling/cav | | 0.70 | 0.70 | 0.50 | 0.50 | 0.30 | 0.70 | 0.70 | 0.50 | 0.50 |
| walls | | 0.50 | 0.30 | 0.50 | 0.30 | 0.30 | 0.50 | 0.30 | 0.50 | 0.30 |
| work pl. | | 0.20 | 0.20 | 0.20 | 0.20 | 0.20 | 0.20 | 0.20 | 0.20 | 0.20 |
| Room dim | | | | | | | | | | |
| x y | | | | | | | | | | |
| 2H | 2H | 19.1 | 19.7 | 19.4 | 20.0 | 20.2 | 19.1 | 19.7 | 19.4 | 20.0 |
| | 3H | 19.0 | 19.5 | 19.3 | 19.8 | 20.1 | 19.0 | 19.5 | 19.3 | 19.8 |
| | 4H | 18.9 | 19.4 | 19.2 | 19.7 | 20.0 | 18.9 | 19.4 | 19.2 | 19.7 |
| | 6H | 18.8 | 19.3 | 19.2 | 19.6 | 19.9 | 18.8 | 19.3 | 19.2 | 19.6 |
| | 8H | 18.8 | 19.3 | 19.2 | 19.6 | 19.9 | 18.8 | 19.3 | 19.2 | 19.6 |
| 4H | 2H | 18.9 | 19.4 | 19.2 | 19.7 | 20.0 | 18.9 | 19.4 | 19.2 | 19.7 |
| | 3H | 18.8 | 19.2 | 19.2 | 19.5 | 19.9 | 18.8 | 19.2 | 19.2 | 19.5 |
| | 4H | 18.7 | 19.1 | 19.1 | 19.4 | 19.8 | 18.7 | 19.1 | 19.1 | 19.4 |
| | 6H | 18.6 | 18.9 | 19.0 | 19.3 | 19.8 | 18.6 | 18.9 | 19.0 | 19.3 |
| | 8H | 18.6 | 18.9 | 19.0 | 19.3 | 19.7 | 18.6 | 18.9 | 19.0 | 19.3 |
| 6H | 2H | 18.5 | 18.8 | 19.0 | 19.2 | 19.7 | 18.5 | 18.8 | 19.0 | 19.2 |
| | 3H | 18.5 | 18.7 | 18.9 | 19.2 | 19.6 | 18.5 | 18.7 | 18.9 | 19.2 |
| | 4H | 18.4 | 18.6 | 18.9 | 19.1 | 19.6 | 18.4 | 18.6 | 18.9 | 19.1 |
| | 6H | 18.4 | 18.6 | 18.9 | 19.0 | 19.6 | 18.4 | 18.6 | 18.9 | 19.0 |
| | 8H | 18.4 | 18.6 | 18.9 | 19.0 | 19.6 | 18.4 | 18.6 | 18.9 | 19.0 |
| 8H | 2H | 18.5 | 18.8 | 19.0 | 19.2 | 19.7 | 18.5 | 18.8 | 19.0 | 19.2 |
| | 3H | 18.4 | 18.6 | 18.9 | 19.1 | 19.6 | 18.4 | 18.6 | 18.9 | 19.1 |
| | 4H | 18.4 | 18.6 | 18.9 | 19.0 | 19.6 | 18.4 | 18.6 | 18.9 | 19.0 |
| | 6H | 18.4 | 18.6 | 18.9 | 19.0 | 19.6 | 18.4 | 18.6 | 18.9 | 19.0 |
| | 8H | 18.4 | 18.6 | 18.9 | 19.0 | 19.6 | 18.4 | 18.6 | 18.9 | 19.0 |
| 12H | 2H | 18.5 | 18.8 | 19.0 | 19.2 | 19.7 | 18.5 | 18.8 | 19.0 | 19.2 |
| | 3H | 18.4 | 18.6 | 18.9 | 19.1 | 19.6 | 18.4 | 18.6 | 18.9 | 19.1 |
| | 4H | 18.4 | 18.6 | 18.9 | 19.0 | 19.6 | 18.4 | 18.6 | 18.9 | 19.0 |
| | 6H | 18.4 | 18.6 | 18.9 | 19.0 | 19.6 | 18.4 | 18.6 | 18.9 | 19.0 |
| | 8H | 18.4 | 18.6 | 18.9 | 19.0 | 19.6 | 18.4 | 18.6 | 18.9 | 19.0 |
| Variations with the observer position at spacing: | | | | | | | | | | |
| S = | | 5.1 / -10.2 | | | | | 5.1 / -10.2 | | | |
| | | 7.9 / -13.3 | | | | | 7.9 / -13.3 | | | |
| | | 9.9 / -15.1 | | | | | 9.9 / -15.1 | | | |